

Ohrožení globální atmosféry

Pevné částice

Emise síry

Emise NOx

Ozon

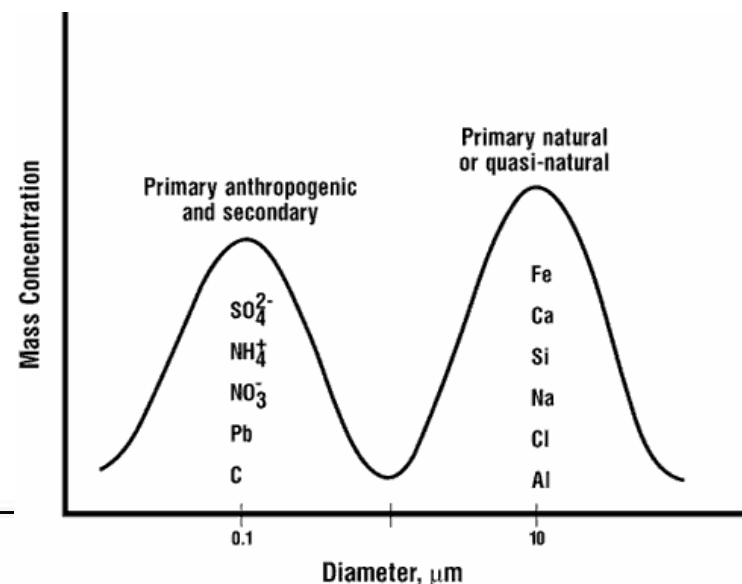
Těkavé organické látky

Kyselá dešť

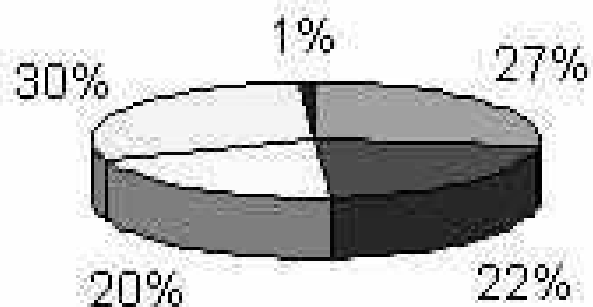
Emise oxidu uhličitého

Emise síry

Pevné částice

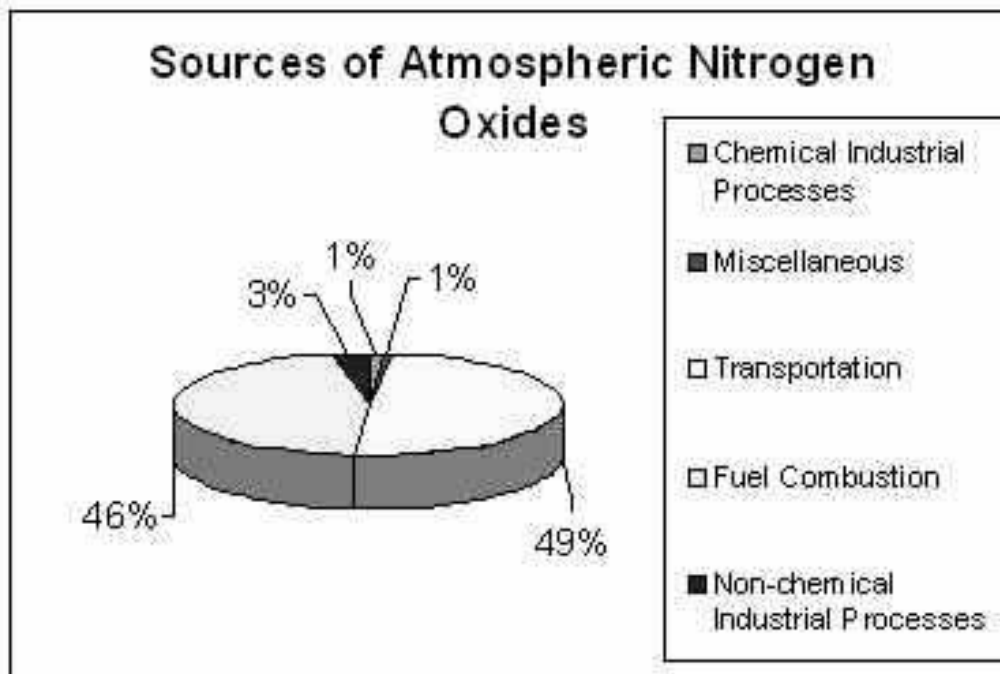


Sources of Atmospheric Sulfur



- Biological Decay--Land
- Biological Decay--Oceans
- Sea Spray
- Anthropogenic
- Volcanic Activity

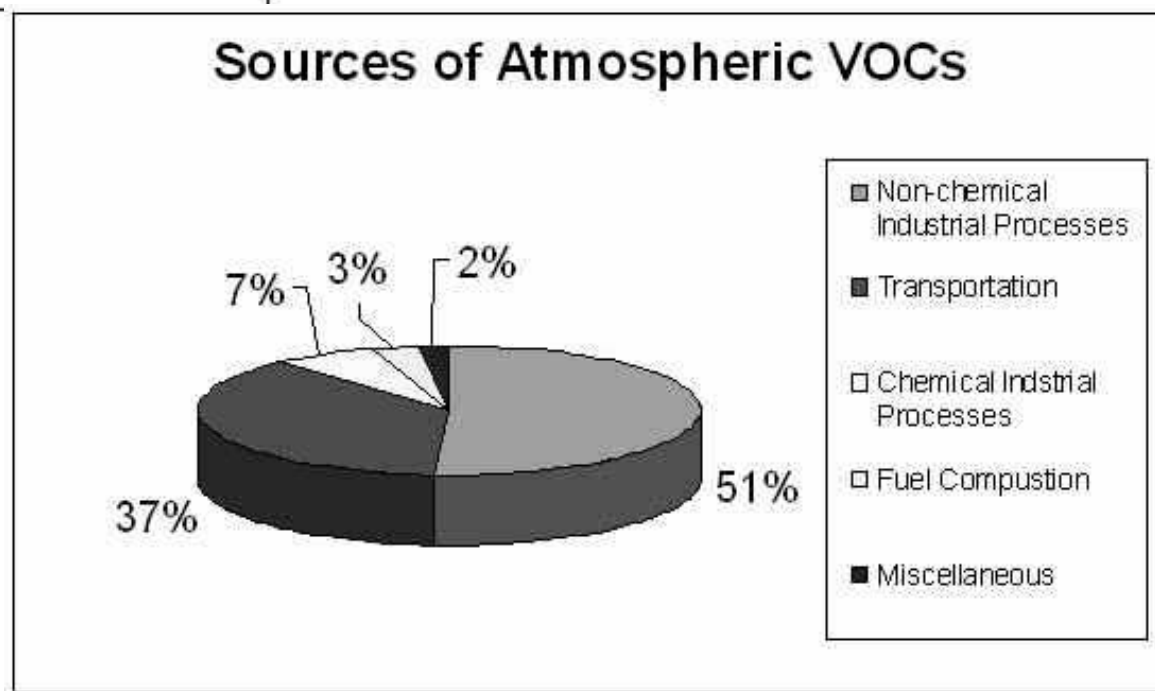
Emise NOx



Ozon

Přirozené pozadí – 0,04 ppm
Fotochemický smog - > 0,12 ppm, astma, dráždění

Těkavé organické látky – VOC (volatile organic compounds)



Chlorofluorouhlovodíky – CFC (chlorofluorocarbons)

objev o zničení ozonové vrstvy – Sherwood
Rowland a Molina 1974

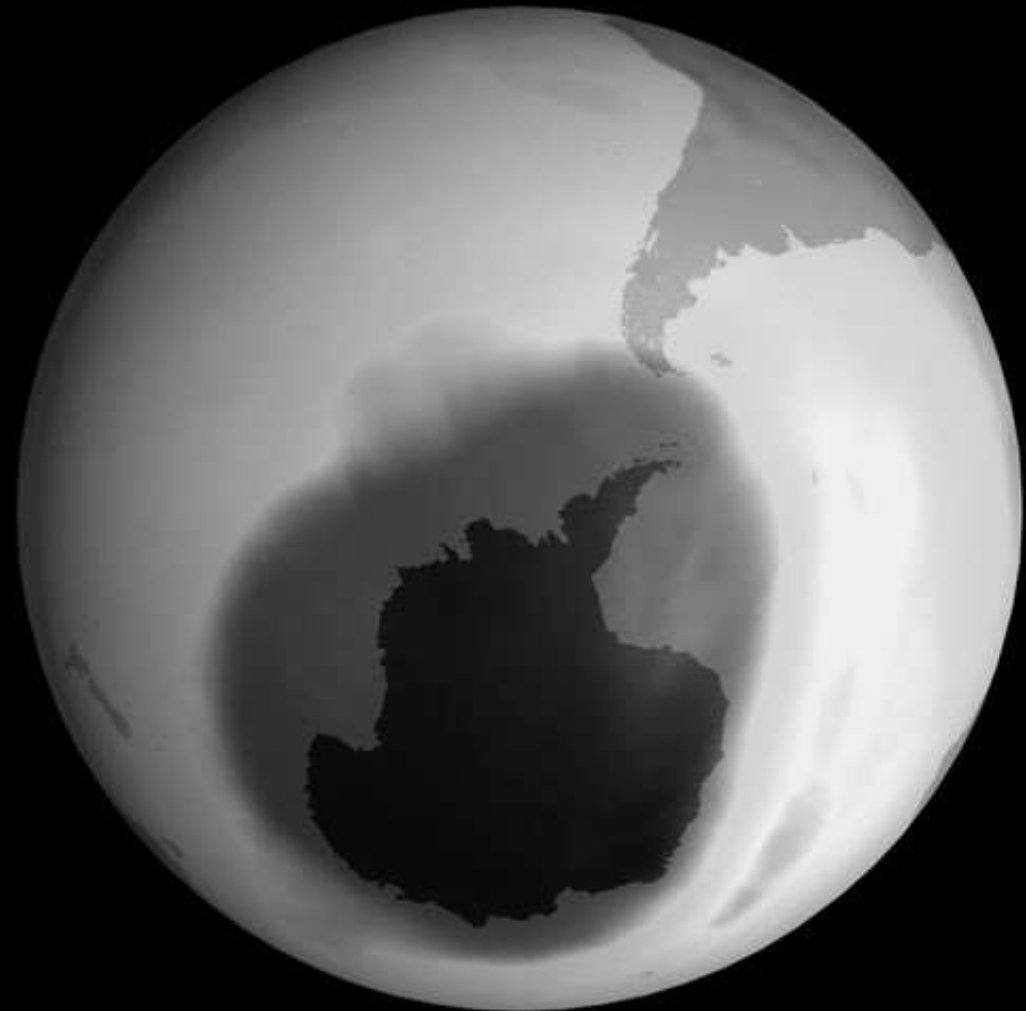
1974 vyprodukováno 800 000 t

1986 více než 1 000 000 t

1987 – dohoda o ukončení výroby
do roku 1994, rozvojové země
do roku 2010 (Montrealský
protokol)

1991 – maximální koncentrace
methylchloroformu, dále
klesání

Ozone • September 6, 2000 • Total Ozone Mapping Spectrometer (TOMS)



Dobson Units

100 200 300 400 500

CO₂

CO₂ nahradil diskusi o CFC

1971 – Ehrlich a Holdern – globální oteplení, zapomenuto

Environmental Effects of Increased Atmospheric Carbon Dioxide

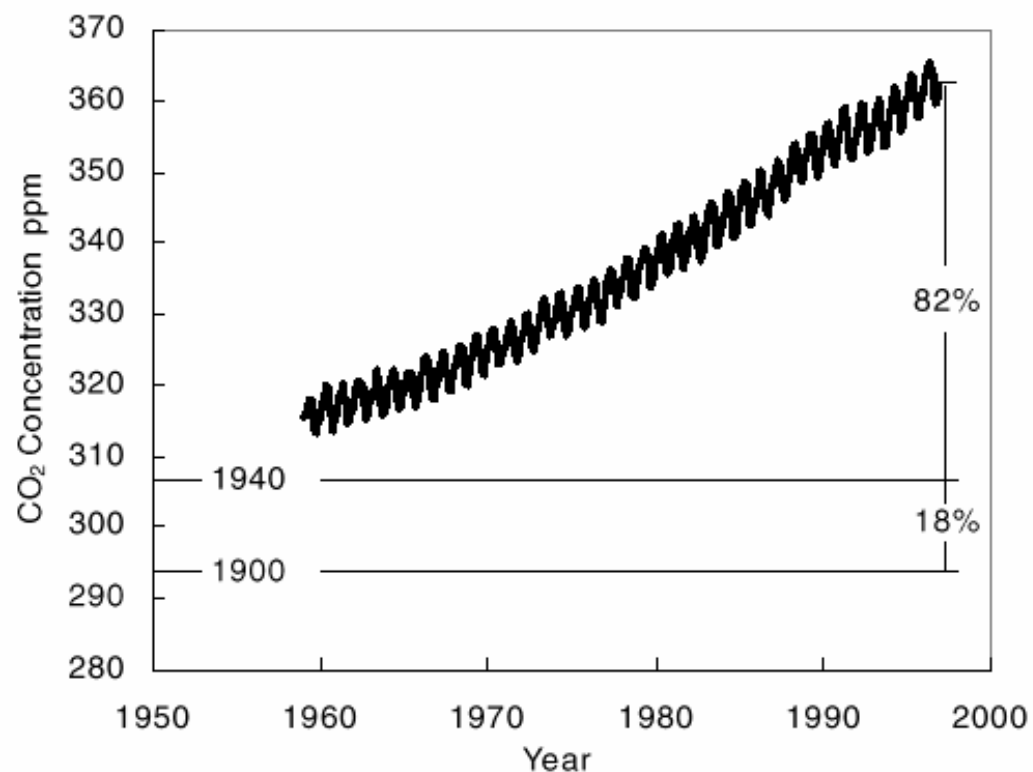
ARTHUR B. ROBINSON ‡ , SALLIE L. BALIUNAS † , WILLIE SOON † , AND ZACHARY W. ROBINSON ‡

‡Oregon Institute of Science and Medicine, 2251 Dick George Rd., Cave Junction, Oregon 97523

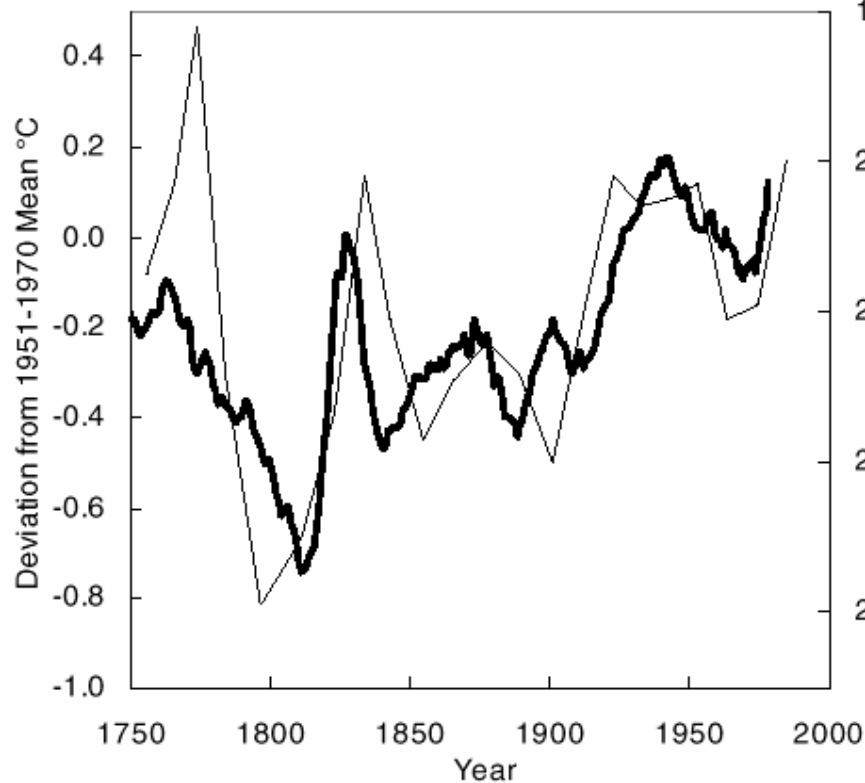
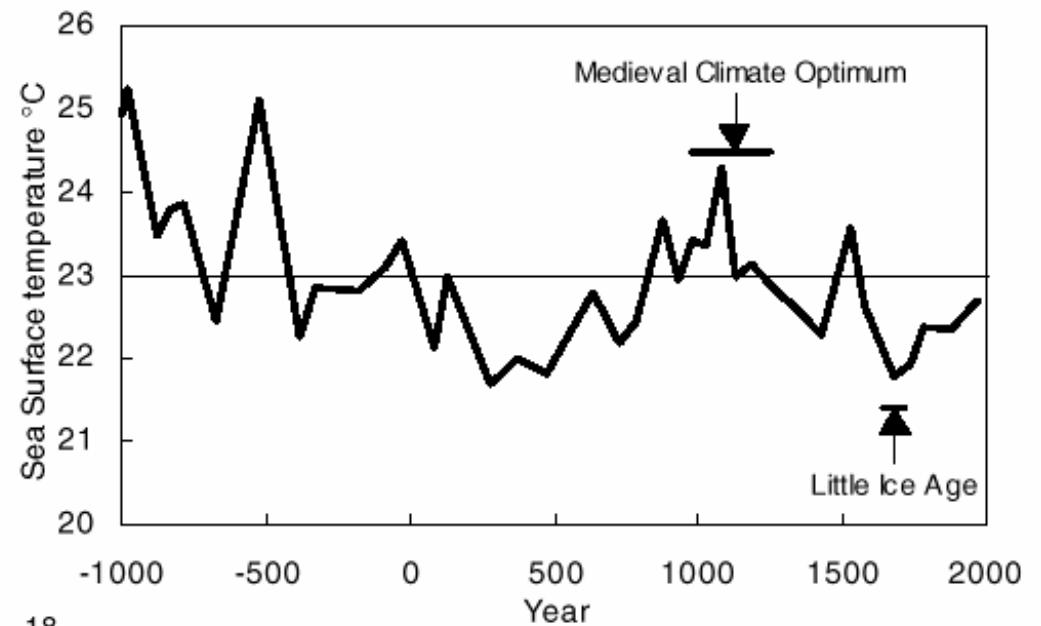
[info@oism.org]

†George C. Marshall Institute, 1730 K St., NW, Ste 905, Washington, DC 20006 [info@marshall.org]

Koncentrace atmosférického CO₂ v ppmv (jedna částice ku milionu objemových) na Mauna Loa, Hawaii. Tato měření dobře souhlasí s měřeními na ostatních stanicích. Periodický cyklus je způsoben sezónními výkyvy CO₂ v důsledku jeho spotřeby rostlinami. Přibližné globální úrovně CO₂ v roce 1900 a 1940 jsou vyznačeny liniemi.



Povrchové teploty Sargasového moře, končí v roce 1975, jak byly určeny z izotopického složení zbytků mořských organismů na dně moře. Horizontální čára je průměrná globální teplota pro toto období dlouhé 3 000 let. Malá doba ledová a středověké klimatické optimum se vyskytovaly naprosto přirozeně a představovaly odchylku klimatu po dlouhou dobu.

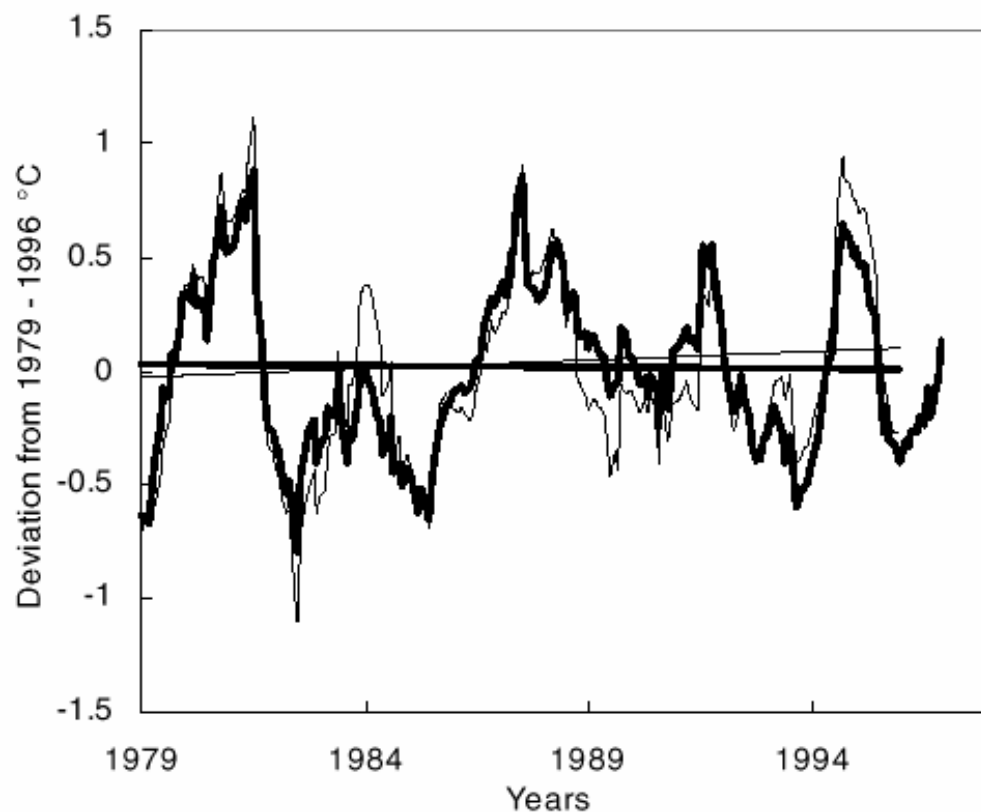
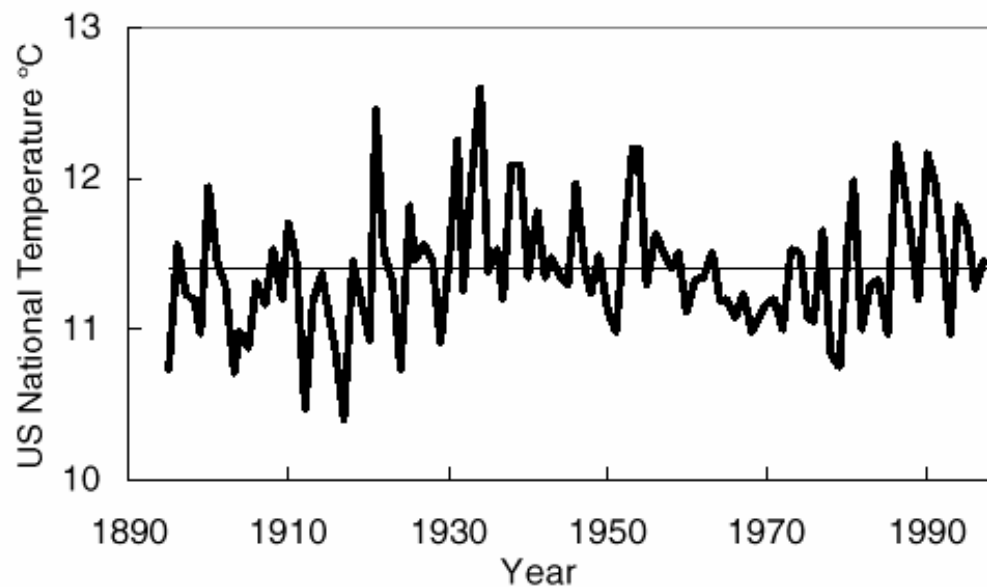


18
20
22
24
26

Solar Magnetic Cycle Length years

Klouzavý 11-letý průměr teplot severní hemisféry vyjádřený jako odchylka od průměru teplot v letech 1951-1970 (silnější linie). Sluneční magnetický cyklus je vyznačen slabší linií.

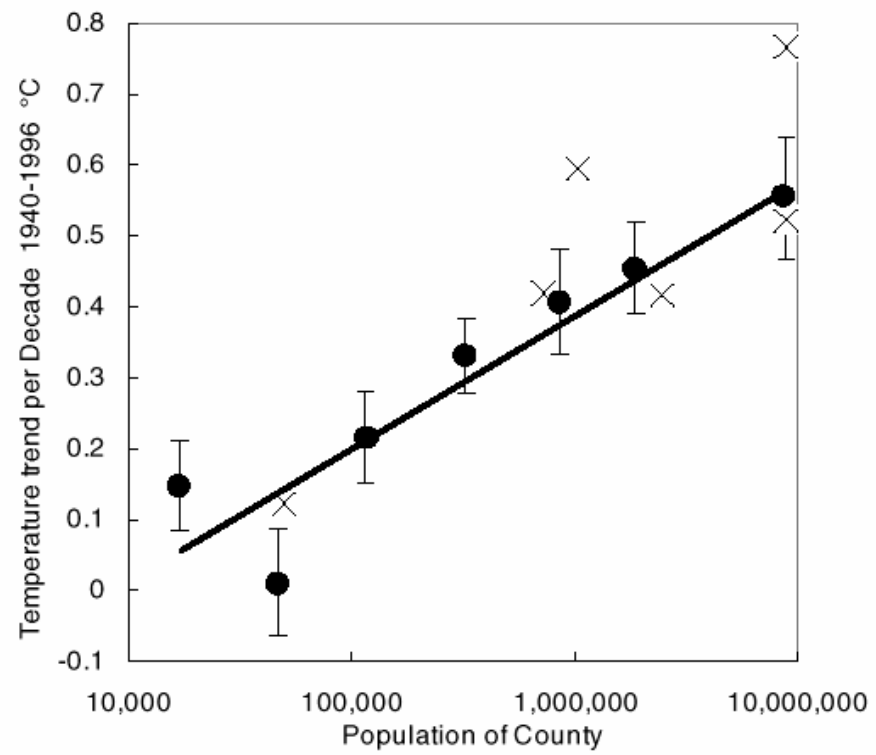
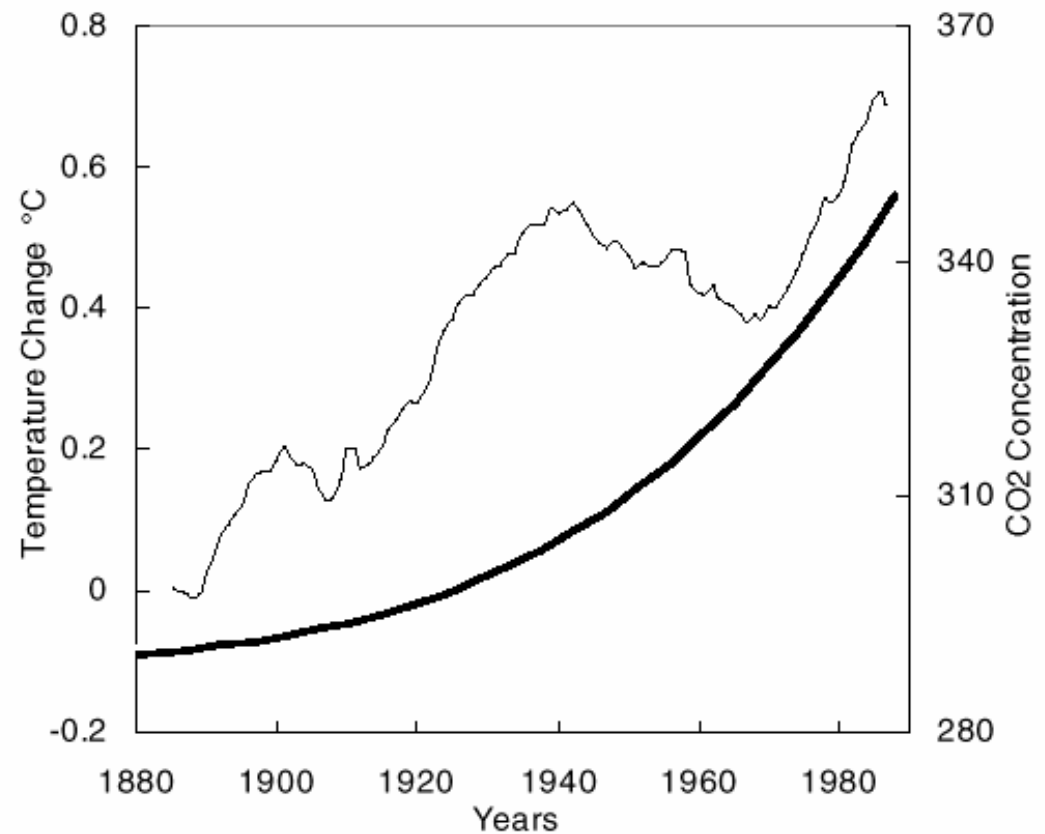
Roční průměrné teploty povrchu
 Spojených států mezi lety 1895 a 1997.
 Horizontální linie představuje 103-letý
 aritmetický průměr. Trendová linie má
 sklon $0,22\text{ }^{\circ}\text{C}$ pro sto let.



Teploty spodní troposféry měřené
 družicí MSU pro Severní Ameriku. Tyto
 teploty jsou porovnány v teplotami
 povrchu stejné oblasti. Sklon trendu
 teploty z družice je $-0,01\text{ }^{\circ}\text{C}$ za dekádu,
 zatímco pro povrch je $0,07\text{ }^{\circ}\text{C}$.

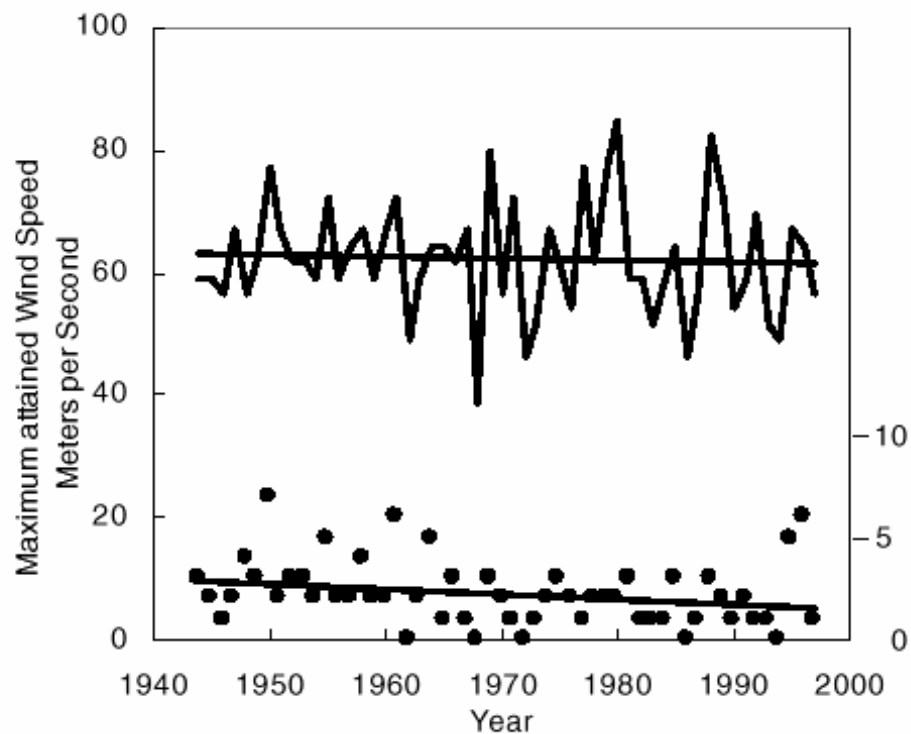
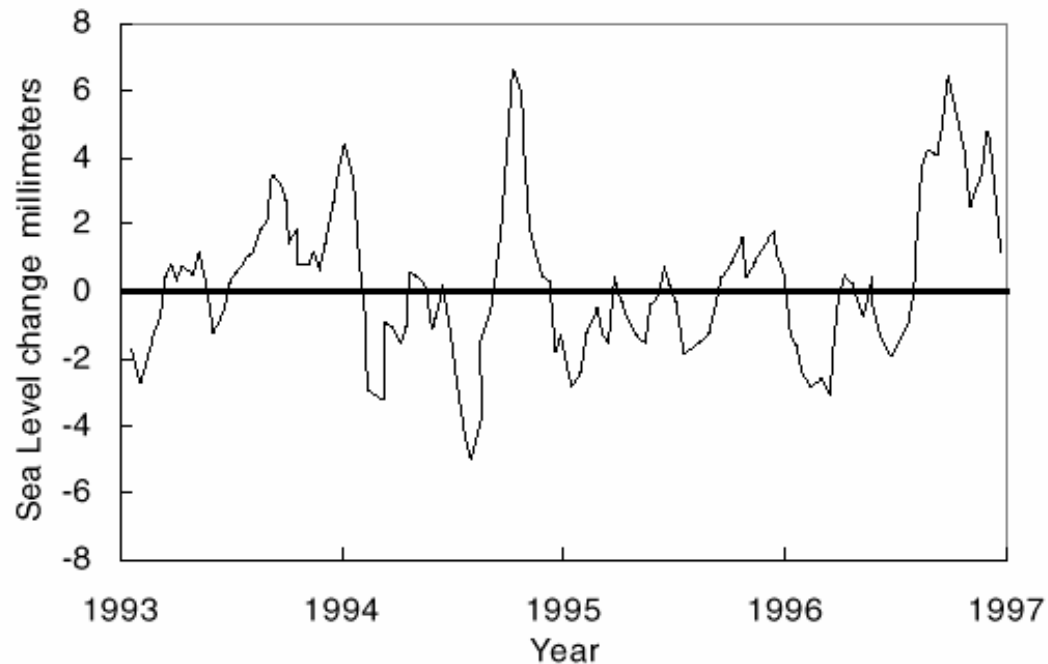
Jedenáctiletý klouzavý průměr globální teploty povrchu odhadnutý NASA a vyneseny jako odchylka od teploty roku

Tento trend je porovnán s koncentracemi CO₂ v atmosféře.



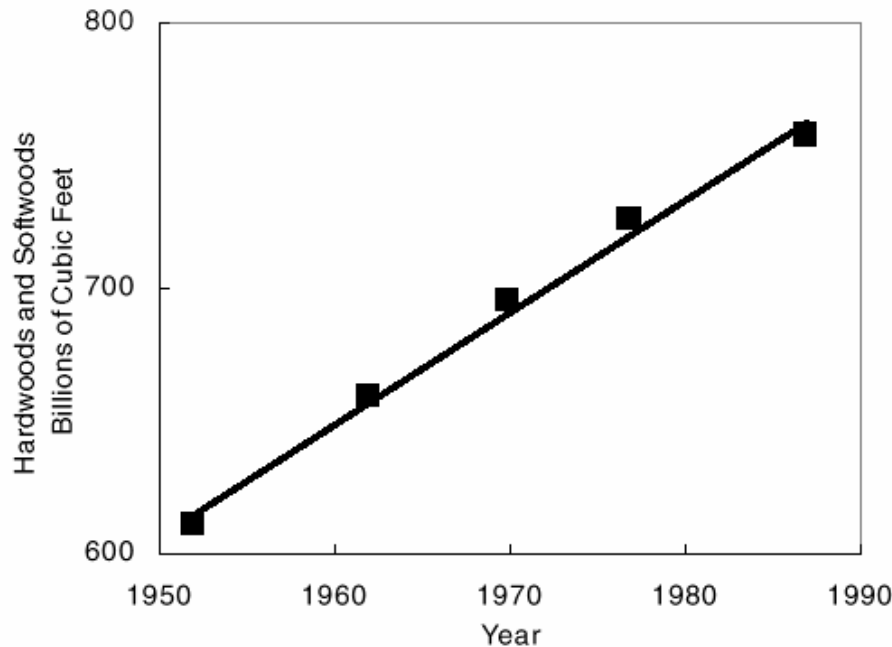
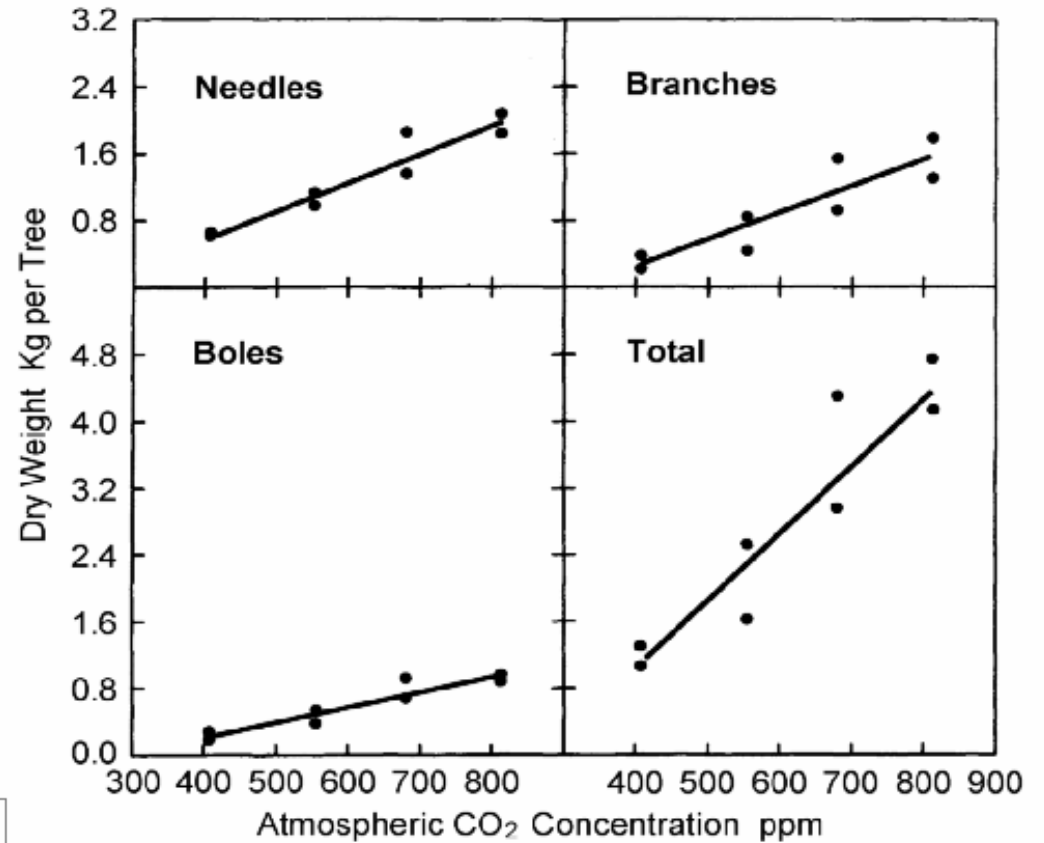
Trendy teploty povrchu pro léta 1940–1996 ze 107 měřicích stanic v Kalifornii. Po zprůměrování trendů pro každou oblast byly stejně osídlené oblasti zkombinovány a vyneseny do grafu. Vliv „efektu teplotních ostrovů osídlení“ je patrný.

Měření globální hladiny moře z družice Topex/Poseidon pro leta 1993 až 1997. Měření poskytuje průměrnou změnu za 0,2 mm.



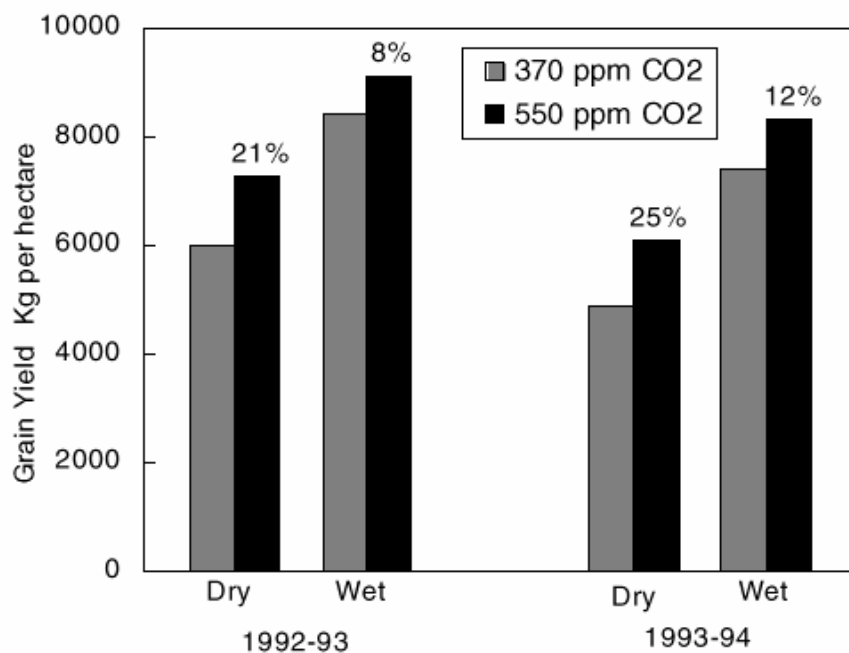
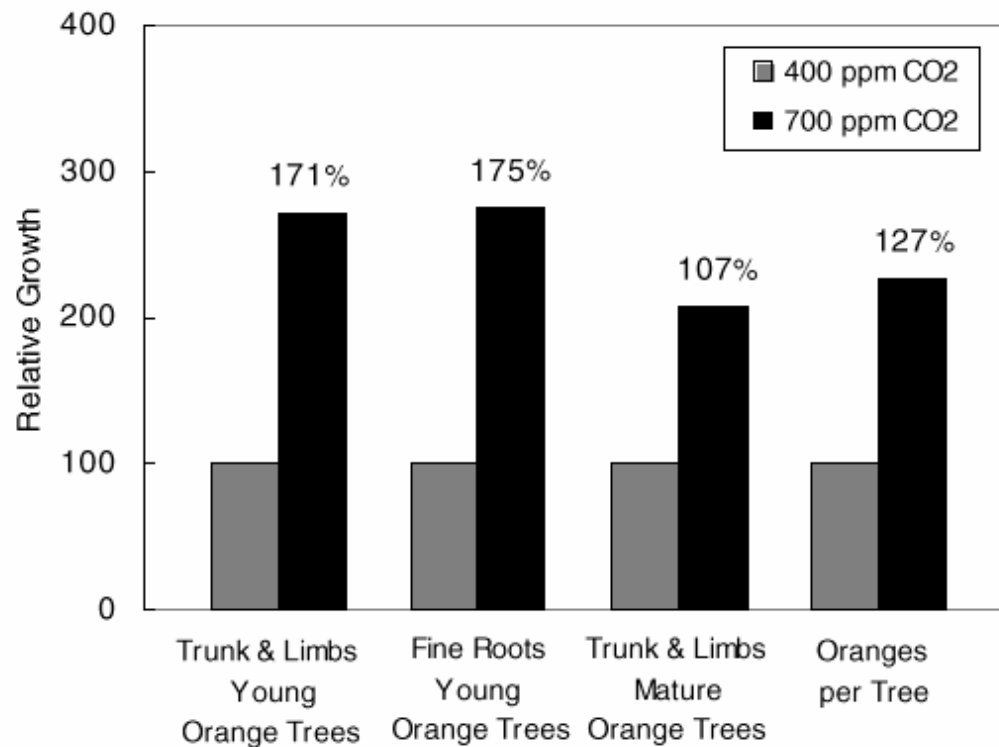
Roční počty prudkých hurikánů a maximální dosahované rychlosti větru těchto hurikánů pro Atlantický oceán. Náklony jsou $-0,25$ hurikánu za 10 let a $-0,33$ metr/s maximální rychlost větru.

Mladé borovice byly pěstovány po 23 měsíců při různých koncentracích CO₂, pak poráženy a váženy. Každý z bodů představuje jeden strom. Vyznačeny jsou závislosti pro jehlice, větve, kmeny a celý strom.



Počty keřů a stromů ve Spojených státech.

Relativní objemy kmenů, větví a jemných kořenů mladých pomerančovníků a u vzrostlých stromů.



Výnosy kukuřice v dobře zavlažovaných a suchých oblastech při pokusech na experimentálních polích. Průměrný přírůstek výnosů byl 10 % v suchých podmínkách a 23 % při dobrém zavlažování.

CO₂

CO₂ nahradil diskusi o CFC

1971 – Ehrlich a Holdern – globální oteplení, zapomenuto

1992 – celosvětová vládní konference, skončila pouze doporučeními, která nebyla naplněna

1995 – IPCC (Intergovernmental Panel on Climate Change, UN) – globální oteplení

1997 – Kyoto (Kyoto Protocol), dohoda o snížení CO₂ a dalších pěti skleníkových plynů na úroveň 5,2 % pod úroveň 1990, USA 7 %. Do roku 1999 měly země podepsat dohody. Dosud malý pokrok.